
**ОБЫКНОВЕННЫЕ
ДИФФЕРЕНЦИАЛЬНЫЕ УРАВНЕНИЯ**

УДК 517.63

**АНАЛИТИКО-ЧИСЛЕННЫЙ МЕТОД ДЛЯ АНАЛИЗА МАЛЫХ
ВОЗМУЩЕНИЙ ОКЕАНСКИХ ГЕОСТРОФИЧЕСКИХ ТЕЧЕНИЙ
С ПАРАБОЛИЧЕСКИМ ВЕРТИКАЛЬНЫМ ПРОФИЛЕМ
СКОРОСТИ ОБЩЕГО ВИДА¹⁾**

© 2022 г. С. Л. Скороходов^{1, *}, Н. П. Кузьмина^{2, **}

¹ 119991 Москва, ул. Вавилова, 44, ФИЦ ИУ РАН, Россия

² 117997 Москва, Нахимовский пр-т, 36, Институт океанологии им. П.П. Ширшова РАН, Россия

*e-mail: sskorokhodov@gmail.com

**e-mail: kuzmina@ocean.ru

Поступила в редакцию 24.04.2022 г.
Переработанный вариант 27.05.2022 г.
Принята к публикации 21.06.2022 г.

Разработан аналитико-численный метод для решения задачи, основанной на уравнении эволюции потенциального вихря в квазигеострофическом приближении с учетом вертикальной диффузии массы и импульса, с целью анализа малых возмущений океанских течений конечного поперечного масштаба с параболическим вертикальным профилем скорости общего вида. Для возникающей спектральной несамосопряженной задачи построены асимптотики собственных функций и собственных значений при малых значениях волнового числа k и показано, что при малых k существуют два ограниченных и счетное множество неограниченно растущих собственных значений. Рассчитаны траектории собственных значений для различных безразмерных параметров задачи при изменении волнового числа k , что показало существенную зависимость скорости роста неустойчивых возмущений от физических параметров модели. Библ. 11. Фиг. 6.

Ключевые слова: спектральная несамосопряженная задача, асимптотические разложения, метод продолжения по параметру.

DOI: 10.31857/S0044466922120134

ВВЕДЕНИЕ

В работах [1]–[9] представлены результаты исследования устойчивых и неустойчивых малых возмущений геострофических течений с линейным и параболическим вертикальными профилями скорости. Модели основывались на уравнении эволюции потенциального вихря в квазигеострофическом приближении с учетом вертикальной диффузии массы и импульса. Вывод основных уравнений модели подробно представлен в [1]–[4]. Анализ проводился для течений с боковыми границами в конечных по вертикали слоях. Для течения с параболическим вертикальным профилем скорости были рассмотрены два частных случая: а) максимум скорости течения расположен в середине слоя (см. [1]–[5]); б) максимум скорости течения достигался на верхней или нижней границах слоя (см. [9]). Однако в океане наблюдаются течения с максимумом скорости внутри слоя, а не только на его границах или в центре слоя. В связи с этим исследование динамики такого течения, т.е. течения с вертикальным параболическим профилем скорости общего вида, является актуальным. Данная работа посвящена разработке аналитико-численного метода для решения задачи динамики геострофического течения с параболическим профилем общего вида. Представлены расчеты траекторий собственных значений (СЗ) для различных параметров модели.

¹⁾Работа выполнена при участии Н.П. Кузьминой при поддержке бюджетного финансирования Института океанологии им. П.П. Ширшова РАН (тема FMWE -2021-0001).

ПОСТАНОВКА ЗАДАЧИ

Область, в которой исследуется модельное течение, является бесконечным (вдоль направления течения) горизонтальным слоем толщины $2H$ с верхней и нижней границами $z_1 = H$ и $z_0 = -H$ и боковыми границами $y_0 = 0$ и $y_1 = L$. Декартовы координаты внутри такого слоя следующие: вертикальная переменная $z \in [-H, H]$, поперечная переменная $y \in [0, L]$ и продольная переменная x направлена вдоль течения, $x \in (-\infty, \infty)$.

В соответствии с методами исследования неустойчивости течений (см. работы [1]–[5]) представим отклонения безразмерного давления в виде бегущей вдоль оси x волны:

$$p(x, y, z; t) = \sin\left(\pi n \frac{y}{L}\right) e^{ik(x-ct)} F\left(\frac{z}{H}\right), \quad n \in \mathbb{N}, \quad (0.1)$$

где k – волновое число возмущения вдоль координаты x , L/n – масштаб возмущения в поперечном направлении y , c – комплексная фазовая скорость волны, а $F(z/H)$ – искомый вертикальный профиль возмущения давления.

В безразмерных переменных задача исследования неустойчивости течения с параболическим вертикальным профилем скорости общего вида сводится к решению спектральной задачи на отрезке $z \in [-1, 1]$. (Подробное описание введения безразмерных переменных для аналогичных задач можно найти, например в [3], [4].) Отметим, что вертикальный профиль течения в безразмерном виде в этом случае будет иметь вид

$$U(z) = 1 - \alpha z^2 + \beta z, \quad (0.2)$$

где параметры α и β неотрицательны. Из стандартного условия равенства нулю скорости основного течения на нижней границе слоя следует, что

$$\alpha + \beta = 1. \quad (0.3)$$

Постановка задачи исследования устойчивости малых возмущений течения с вертикальным профилем скорости $U(z)$ проводится аналогично задачам в [3]–[9] и может быть записана в виде следующей спектральной задачи на отрезке $z \in [-1, 1]$.

Задача. Найти комплекснозначные собственные функции (СФ) $F = F(z)$ и СЗ " c ", удовлетворяющие на отрезке $z \in [-1, 1]$ уравнению

$$\frac{1}{ikR} (F^{(IV)} - \text{Bu Pr}(k^2 + \pi^2 n^2) F''') = (1 - \alpha z^2 + \beta z - c)(F''' - \text{Bu}(k^2 + \pi^2 n^2) F) + 2\alpha F \quad (0.4)$$

с краевыми условиями

$$\frac{1}{ikR} F'''(1) = (1 - \alpha + \beta - c)F'(1) - (\beta - 2\alpha)F(1), \quad F''(1) = 0, \quad (0.5)$$

$$\frac{1}{ikR} F'''(-1) = -cF'(-1) - (\beta + 2\alpha)F(-1), \quad F''(-1) = 0, \quad (0.6)$$

причем неотрицательные параметры α и β удовлетворяют условию (0.3).

Здесь введены следующие обозначения: $R = \text{Re } H/L$, где Re – число Пекле (аналог числа Рейнольдса), n – число полуволн в поперечном направлении ($n = 1, 2, \dots$), Pr – число Прандтля, Bu – число Бургера, i – мнимая единица.

Краевые условия в (0.5), (0.6) с участием третьих производных задают непротекание на горизонтальных границах слоя, а условия для вторых производных задают равенство нулю потоков плавучести.

Поставленная задача является несамосопряженной, сингулярно возмущенной (для реальных течений величина kR может быть очень большой), а спектральный параметр c входит в уравнение и в краевые условия. Задача будет иметь счетное множество СФ и соответствующих им СЗ. Неустойчивые по времени возмущения давления $p(x, y, z; t)$ возникают для тех СФ, которым соответствуют СЗ c_m с положительной мнимой частью $\text{Im}(c) > 0$, что следует из представления (0.1).

1. МЕТОД РАСЧЕТА СФ И СЗ

Анализ уравнения (0.4) показывает, что СФ $F(z)$ являются целыми функциями, а их степенные разложения будут сходиться при любых конечных значениях аргумента z . Метод расчета СФ и соответствующих СЗ был разработан ранее в [5], [6] и показал свою высокую точность и быстродействие. Суть этого подхода состоит в построении степенных разложений $F(z)$ в граничных точках $z = -1$ и $z = 1$ и их гладкой сшивке в некоторой точке $z_* \in (-1, 1)$.

Зафиксируем спектральный параметр c и решение $F(c; z)$ уравнения (0.4) представим в виде двух разложений в точках $z = 1$ и $z = -1$:

$$F(c; z) = \sum_{m=0}^{\infty} a_m(c)(z - 1)^m, \quad F(c; z) = \sum_{m=0}^{\infty} b_m(c)(z + 1)^m, \tag{1.1}$$

сходящихся при любых $z, |z| < \infty$, где коэффициенты $a_m(c)$ и $b_m(c)$ зависят от параметра c . Подставляя представления (1.1) в уравнение (0.4), получаем рекуррентные соотношения для коэффициентов a_m и b_m :

$$a_{m+4} = \{(m + 1)(m + 2)[\text{Pr Bu}(\pi^2 n^2 + k^2) + (1 - \alpha + \beta - c)ikR]a_{m+2} + ikR(\beta - 2\alpha)m(m + 1)a_{m+1} + ikR[2\alpha - \text{Bu}(\pi^2 n^2 + k^2)(1 - \alpha + \beta - c) - \alpha m(m - 1)]a_m - ikR\text{Bu}(\pi^2 n^2 + k^2)(\beta - 2\alpha)a_{m-1} + ikR\alpha\text{Bu}(\pi^2 n^2 + k^2)a_{m-2}\}[(m + 1)(m + 2)(m + 3)(m + 4)]^{-1}, \tag{1.2}$$

$$b_{m+4} = \{(m + 1)(m + 2)[\text{Pr Bu}(\pi^2 n^2 + k^2) - ikRc]b_{m+2} + ikRm(m + 1)(2\alpha + \beta)b_{m+1} + ikR[2\alpha - \alpha m(m - 1) + \text{Bu}(\pi^2 n^2 + k^2)c]b_m - ikR\text{Bu}(\pi^2 n^2 + k^2)(2\alpha + \beta)b_{m-1} + ikR\alpha\text{Bu}(\pi^2 n^2 + k^2)b_{m-2}\}[(m + 1)(m + 2)(m + 3)(m + 4)]^{-1}. \tag{1.3}$$

Асимптотическое поведение коэффициентов a_m и b_m с ростом номера m может быть исследовано на основе теории Пуанкаре–Перрона анализа полученных рекуррентных уравнений (1.2) и (1.3) (см. [10]). Для наиболее медленно убывающих решений коэффициентов a_m и b_m это асимптотическое поведение зависит от параметра α следующим образом:

$$\frac{a_{m+1}}{a_m} \sim \frac{t}{\sqrt{m}}, \quad \frac{b_{m+1}}{b_m} \sim \frac{t}{\sqrt{m}}, \quad m \rightarrow \infty, \quad t = (-ikR\alpha)^{1/4}, \quad \alpha \neq 0,$$

$$\frac{a_{m+1}}{a_m} \sim \frac{t}{m^{2/3}}, \quad \frac{b_{m+1}}{b_m} \sim \frac{t}{m^{2/3}}, \quad m \rightarrow \infty, \quad t = (ikR)^{1/3}, \quad \alpha = 0.$$

Такая скорость убывания коэффициентов a_m и b_m обеспечивает быструю сходимость используемых разложений (1.1) на всем отрезке $z \in [-1, 1]$.

Теперь учтем краевые условия (0.5) и (0.6), дающие связь коэффициентов a_m и $b_m, m = 0, 1, 2, 3$:

$$a_2 = 0, \quad a_3 = \frac{ikR}{6}[(1 - \alpha + \beta - c)a_1 - (\beta - 2\alpha)a_0], \tag{1.4}$$

$$b_2 = 0, \quad b_3 = -\frac{ikR}{6}[cb_1 + (\beta + 2\alpha)b_0]. \tag{1.5}$$

Далее построим два независимых решения $F_1(c; z)$ и $F_2(c; z)$ в виде разложений (1.1) в точке $z = 1$. Для этого зададим коэффициенты $a_0^{(1)}$ и $a_1^{(1)}$ решения $F_1(c; z)$ следующими:

$$a_0^{(1)} = 1, \quad a_1^{(1)} = 0,$$

величины $a_2^{(1)}$ и $a_3^{(1)}$ определим по (1.4), а все последующие $a_m^{(1)}$ вычислим по рекурсии (1.2), где полагаем $a_{-1}^{(1)} = a_{-2}^{(1)} = 0$.

Для второго решения $F_2(c; z)$ коэффициенты $a_0^{(2)}$ и $a_1^{(2)}$ зададим следующими:

$$a_0^{(2)} = 0, \quad a_1^{(2)} = 1,$$

а все последующие $a_m^{(2)}$ вычислим аналогично предыдущему. Два разложения $F_1(c; z)$ и $F_2(c; z)$ в точке $z = 1$ построены.

Линейная комбинация $F_1(c; z)$ и $F_2(c; z)$ является общим решением $F(c; z)$ уравнения (0.4) с краевыми условиями (0.5) в точке $z = 1$:

$$F(c; z) = t_1 F_1(c; z) + t_2 F_2(c; z), \quad (1.6)$$

где t_1 и t_2 — произвольные весовые коэффициенты.

Теперь построим две функции $F_3(c; z)$ и $F_4(c; z)$ в виде разложений в точке $z = -1$, задав коэффициенты $b_0^{(1)}$, $b_1^{(1)}$ и $b_0^{(2)}$, $b_1^{(2)}$ следующими:

$$b_0^{(1)} = 1, \quad b_1^{(1)} = 0, \quad b_0^{(2)} = 0, \quad b_1^{(2)} = 1,$$

положив b_2 и b_3 в соответствии с (1.5), а все последующие коэффициенты b_m для обоих разложений вычислив из соотношения (1.3).

Линейная комбинация $F_3(c; z)$ и $F_4(c; z)$ является общим решением $F(c; z)$ уравнения (0.4) с краевыми условиями (0.6) в точке $z = -1$,

$$F(c; z) = t_3 F_3(c; z) + t_4 F_4(c; z) \quad (1.7)$$

с произвольными весовыми коэффициентами t_3 и t_4 .

Задача построения СФ и вычисления искомого СЗ теперь сводится к гладкой сшивке в некоторой точке $z_* \in (-1, 1)$ комбинаций (1.6) и (1.7):

$$t_1 F_1^{(p)}(c; z_*) + t_2 F_2^{(p)}(c; z_*) - t_3 F_3^{(p)}(c; z_*) - t_4 F_4^{(p)}(c; z_*) = 0, \quad p = 0, 1, 2, 3. \quad (1.8)$$

Нетривиальное решение системы (1.8) требует равенства нулю вронскиана $W(F_1, F_2, F_3, F_4)$:

$$W(F_1, F_2, F_3, F_4; c; z_*) = 0. \quad (1.9)$$

Решая это уравнение относительно величины c , получаем искомое СЗ — комплексную скорость бегущей волны, зависящую от всех параметров задачи (0.4)–(0.6). Найденные при этом весовые коэффициенты t_1, t_2, t_3, t_4 позволяют (с точностью до произвольного множителя) найти соответствующую СФ $F(c; z)$ в виде комбинаций (1.6) и (1.7) в точках $z = 1$ и $z = -1$ соответственно.

Решение уравнения (1.9) будем строить с помощью итерационного метода Ньютона:

$$c^{(q+1)} = c^{(q)} - W(\dots; c^{(q)}; z_*) \left[\frac{\partial W(\dots; c^{(q)}; z_*)}{\partial c} \right]^{-1}, \quad q = 0, 1, \dots, \quad (1.10)$$

а начальные приближения $c^{(0)}$ будем брать на основе метода продолжения по параметру k и из полученных далее асимптотических разложений при $k \rightarrow 0$.

Необходимая для метода Ньютона производная $\partial W(\dots; c; z_*)/\partial c$ от вронскиана (1.9) системы (1.8) находилась с помощью явного дифференцирования по спектральному параметру c разложений для всех производных $F_1^{(p)}(c; z_*)$, $F_2^{(p)}(c; z_*)$, $F_3^{(p)}(c; z_*)$, $F_4^{(p)}(c; z_*)$ при $p = 0, 1, 2, 3$, что позволило избежать использования конечно-разностной производной $\Delta W(\dots; c; z_*)/\Delta c$ и связанной с ней потери точности при малых $|\Delta c|$.

2. АСИМПТОТИКА СФ И СЗ ПРИ $k \rightarrow 0$

Построим при $k \rightarrow 0$ асимптотическое разложение СФ и СЗ при ненулевых параметрах R , V_n , P_n и $n \in \mathbb{N}$. Метод такого построения описан, например, в [11].

Как и ранее в частном случае спектральной задачи [9], здесь будут возникать ограниченные и неограниченные СЗ, которые рассмотрим отдельно.

2.1. Ограниченные СЗ

Полагая, что асимптотическое разложение СЗ при $k \rightarrow 0$ имеет конечный предел c_0 , запишем представление для СФ $F(k; z)$ и СЗ $c(k)$ в виде ряда по степеням $(ikR)^m$

$$F(k; z) = \varphi_0(z) + ikR\varphi_1(z) + (ikR)^2\varphi_2(z) + \dots, \tag{2.1}$$

$$c(k) = c_0 + ikRc_1 + (ikR)^2c_2 + \dots, \quad k \rightarrow 0. \tag{2.2}$$

Подстановка разложений (2.1) и (2.2) в исходное уравнение (0.4) и краевые условия (0.5), (0.6) приводит к цепочке краевых задач для функций $\varphi_m(z)$ и значений $c_m, m = 0, 1, \dots$. Первая задача для $\varphi_0(z)$ имеет вид

$$\varphi_0''''(z) - \text{Pr Bu } \pi^2 n^2 \varphi_0''(z) = 0, \quad z \in [-1, 1], \tag{2.3}$$

$$\varphi_0'''(-1) = \varphi_0''(-1) = 0, \quad \varphi_0'''(1) = \varphi_0''(1) = 0. \tag{2.4}$$

Решением (2.3), (2.4) является линейная функция

$$\varphi_0(z) = A_0 + B_0 z \quad \forall A_0, B_0. \tag{2.5}$$

Для следующей функции $\varphi_1(z)$ и величины c_0 возникает задача

$$\varphi_1''''(z) - \text{Pr Bu } \pi^2 n^2 \varphi_1''(z) = [(\alpha z^2 - \beta z - 1 + c_0) \text{Bu } \pi^2 n^2 + 2\alpha] \varphi_0(z) \tag{2.6}$$

с краевыми условиями

$$\varphi_1'''(-1) = -c_0 \varphi_0'(-1) - (\beta + 2\alpha) \varphi_0(-1), \quad \varphi_1''(-1) = 0, \tag{2.7}$$

$$\varphi_1'''(1) = (1 - \alpha + \beta - c_0) \varphi_0'(1) - (\beta - 2\alpha) \varphi_0(1), \quad \varphi_1''(1) = 0. \tag{2.8}$$

Решение $\varphi_1(z)$ уравнения (2.6) ищем в виде суммы $\varphi_h(z) + \varphi_{nh}(z)$ решений однородного и неоднородного уравнений соответственно.

Учитывая вид (2.5) функции $\varphi_0(z)$ и замечая, что в правой части (2.6) стоит полином степени 3, записываем представление для функции $\varphi_{nh}(z)$ в виде полинома степени 5:

$$\varphi_{nh}(z) = D_2 z^2 + D_3 z^3 + D_4 z^4 + D_5 z^5, \tag{2.9}$$

где для коэффициентов D_m после подстановки (2.9) в уравнение (2.6), получаем

$$D_2 = -\left(\frac{\alpha}{\lambda^2 \text{Pr}} + \frac{\alpha}{\lambda^2} + \frac{c_0 - 1}{2\text{Pr}}\right) A_0 + \frac{\beta}{\lambda^2 \text{Pr}} B_0, \quad D_3 = \frac{\beta}{6\text{Pr}} A_0 - \left(\frac{\alpha}{\lambda^2 \text{Pr}} + \frac{\alpha}{3\lambda^2} + \frac{c_0 - 1}{6\text{Pr}}\right) B_0, \tag{2.10}$$

$$D_4 = \frac{-\alpha}{12\text{Pr}} A_0 + \frac{\beta}{12\text{Pr}} B_0, \quad D_5 = \frac{-\alpha}{20\text{Pr}} B_0,$$

а для величины λ введено обозначение

$$\lambda = \pi n \sqrt{\text{Pr Bu}}. \tag{2.11}$$

Решение $\varphi_h(z)$ однородного уравнения запишем в форме

$$\varphi_h(z) = E_1 \text{sh } \lambda z + E_2 \text{ch } \lambda z + A_1 + B_1 z, \tag{2.12}$$

а неизвестные постоянные найдем далее. Подставляя решение $\varphi_1 = \varphi_h + \varphi_{nh}$ сначала в краевые условия (2.7), (2.8) для вторых производных, получим коэффициенты E_1 и E_2 :

$$E_1 = -\frac{20D_5}{\lambda^2 \text{sh } \lambda} - \frac{6D_3}{\lambda^2 \text{sh } \lambda}, \quad E_2 = -\frac{12D_4}{\lambda^2 \text{ch } \lambda} - \frac{2D_2}{\lambda^2 \text{ch } \lambda}. \tag{2.13}$$

Теперь подставим решение $\varphi_1(z)$ в краевые условия (2.7), (2.8) для третьих производных, а затем запишем сумму и разность полученных уравнений:

$$E_1 \lambda^3 \text{ch } \lambda + 60D_5 + 6D_3 = -\beta A_0 + (\alpha + 1 - c_0) B_0, \quad E_2 \lambda^3 \text{sh } \lambda + 24D_4 = 2\alpha A_0. \tag{2.14}$$

Подставляя сюда значения E_1 и E_2 из (2.13), а затем соотношения (2.10) для коэффициентов D_m , получаем окончательную систему двух уравнений для величин A_0 и B_0 :

$$[\text{th } \lambda(2\alpha + 2\alpha \text{Pr} + (c_0 - 1)\lambda^2) - 2\alpha\lambda(\text{Pr} + 1) + \alpha\lambda^2 \text{th } \lambda]A_0 + \beta[2\lambda - (\lambda^2 + 2)\text{th } \lambda]B_0 = 0, \quad (2.15)$$

$$\begin{aligned} &\beta\lambda^2[\text{Pr} + 1 - \lambda \text{cth } \lambda]A_0 + [(\lambda \text{cth } \lambda - 1)(6\alpha + 2\alpha \text{Pr} + \lambda^2(c_0 - 1)) - \\ &- \alpha\lambda^2(\text{Pr} + 3 - \lambda \text{cth } \lambda) + (c_0 - 1)\text{Pr}\lambda^2]B_0 = 0. \end{aligned} \quad (2.16)$$

Для разрешимости системы (2.15), (2.16) необходимо равенство нулю ее детерминанта, что даст уравнение для искомой величины c_0 . Запишем его в виде квадратного уравнения относительно $(c_0 - 1)$:

$$Q_2(c_0 - 1)^2 + Q_1(c_0 - 1) + Q_0 = 0, \quad (2.17)$$

где обозначено

$$Q_2 = \lambda^5 + \lambda^4 \text{th } \lambda(\text{Pr} - 1),$$

$$\begin{aligned} Q_1 = &\lambda^2\{\text{th } \lambda[(\lambda \text{cth } \lambda - 1)(6\alpha + 2\alpha \text{Pr}) - \alpha\lambda^2(3 + \text{Pr} - \lambda \text{cth } \lambda)] + \\ &+ (\lambda \text{cth } \lambda + \text{Pr} - 1)[\text{th } \lambda(2\alpha + 2\alpha \text{Pr}) - \alpha\lambda(2\text{Pr} + 2 - \lambda \text{th } \lambda)]\}, \end{aligned} \quad (2.18)$$

$$Q_0 = [\text{th } \lambda(2\alpha + 2\alpha \text{Pr}) - \alpha\lambda(2\text{Pr} + 2 - \lambda \text{th } \lambda)] \times$$

$$\times [(\lambda \text{cth } \lambda - 1)(6\alpha + 2\alpha \text{Pr}) - \alpha\lambda^2(3 + \text{Pr} - \lambda \text{cth } \lambda)] - \beta^2\lambda^2(2\lambda - \lambda^2 \text{th } \lambda - 2 \text{th } \lambda)(\text{Pr} + 1 - \lambda \text{cth } \lambda).$$

Два корня c_{0_1} и c_{0_2} уравнения (2.17) следующие:

$$c_{0_{1,2}} = 1 + \frac{-Q_1 \pm \sqrt{Q_1^2 - 4Q_0Q_2}}{2Q_2}. \quad (2.19)$$

Для реальных течений в океане величина $\lambda = \pi n \sqrt{\text{Pr} \text{Vu}}$ (см. (2.11)) может изменяться от малых до больших значений. Например, для широких течений при $\lambda \ll 1$ выражения для СЗ c_{0_1} и c_{0_2} можно представить в виде разложения по малому параметру λ , что дает

$$\begin{aligned} c_{0_1} = &1 + \frac{\alpha \text{Pr} + \sqrt{\alpha^2(\text{Pr} - 1)^2 - 3\beta^2}}{3} - \\ &- \left[\frac{\alpha^2(\text{Pr} - 1)(\text{Pr}^2 + 2\text{Pr} - 7) + 3\beta^2(\text{Pr} - 5)}{45\text{Pr}\sqrt{\alpha^2(\text{Pr} - 1)^2 - 3\beta^2}} + \frac{\alpha(\text{Pr}^2 + 7)}{45\text{Pr}} \right] \lambda^2 + O(\lambda^3), \quad \lambda \rightarrow 0, \end{aligned} \quad (2.20)$$

$$\begin{aligned} c_{0_2} = &1 + \frac{\alpha \text{Pr} - \sqrt{\alpha^2(\text{Pr} - 1)^2 - 3\beta^2}}{3} + \\ &+ \left[\frac{\alpha^2(\text{Pr} - 1)(\text{Pr}^2 + 2\text{Pr} - 7) + 3\beta^2(\text{Pr} - 5)}{45\text{Pr}\sqrt{\alpha^2(\text{Pr} - 1)^2 - 3\beta^2}} - \frac{\alpha(\text{Pr}^2 + 7)}{45\text{Pr}} \right] \lambda^2 + O(\lambda^3), \quad \lambda \rightarrow 0. \end{aligned} \quad (2.21)$$

Из этих разложений видно, что при условии

$$\alpha|\text{Pr} - 1| < \sqrt{3}\beta, \quad \alpha + \beta = 1, \quad (2.22)$$

подкоренное выражение отрицательно, корни становятся комплексно-сопряженными, что свидетельствует о неустойчивости длинноволновых возмущений для широких течений при $\lambda \ll 1$.

2.2. Неограниченные СЗ

Построение асимптотического разложения при $k \rightarrow 0$ для СФ и неограниченно растущих СЗ задачи (0.4)–(0.6) проводится так же, как это было сделано в [6], поэтому изложим лишь схему такого анализа и дадим результат.

Полагая величину R фиксированной, представим искомую СФ $F(z)$ и СЗ c в виде следующих разложений по степеням параметра ikR :

$$F(z) = \varphi_0(z) + ikR\varphi_1(z) + \dots, \quad c = \frac{\chi_{-1}}{ikR} + \chi_0 + ikR\chi_1 + \dots, \quad k \rightarrow 0. \quad (2.23)$$

Это приводит к цепочке краевых задач для функций $\varphi_0(z), \varphi_1(z), \dots$. Первая из них, для $\varphi_0(z)$ и χ_{-1} , имеет вид

$$\varphi_0''''(z) + (\chi_{-1} - \lambda^2)\varphi_0''(z) - \chi_{-1} \frac{\lambda^2}{Pr} \varphi_0(z) = 0, \quad (2.24)$$

$$\varphi_0'''(-1) = -\chi_{-1}\varphi_0'(-1), \quad \varphi_0''(-1) = 0, \quad \varphi_0'''(1) = -\chi_{-1}\varphi_0'(1), \quad \varphi_0''(1) = 0, \quad (2.25)$$

где величина λ определена в (2.11). Представляя решение уравнения (2.24) в виде

$$\varphi_0(z) = A \cos(\omega z) + B \sin(\omega z), \quad (2.26)$$

получаем для ω характеристическое уравнение

$$\omega^4 - (\chi_{-1} - \lambda^2)\omega^2 - \chi_{-1} \frac{\lambda^2}{Pr} = 0. \quad (2.27)$$

Некратные корни ω_1^2 и ω_2^2 этого уравнения возникают при условии неравенства нулю его дискриминанта, т.е.

$$(\chi_{-1} - \lambda^2)^2 + 4\chi_{-1} \frac{\lambda^2}{Pr} \neq 0; \quad (2.28)$$

в дальнейшем рассмотрении ограничимся только этим условием.

Решение уравнения (2.27) запишем относительно величин ω_1^2 и ω_2^2 :

$$\omega_{1,2}^2 = \frac{1}{2} \left[\chi_{-1} - \lambda^2 \pm \sqrt{(\chi_{-1} - \lambda^2)^2 + 4\chi_{-1} \frac{\lambda^2}{Pr}} \right]. \quad (2.29)$$

Последующее исследование задачи (2.24), (2.25) включает поиск решения $\varphi_0(z)$ в виде четной или нечетной функции, поэтому рассмотрим два соответствующих случая.

2.2.1. Решения вида $\cos(\omega z)$. Представляя решение $\varphi_0(z)$ уравнения (2.24) в виде

$$\varphi_0(z) = A_1 \cos(\omega_1 z) + A_2 \cos(\omega_2 z) \quad (2.30)$$

и удовлетворяя граничным условиям (2.25), получаем для χ_{-1} трансцендентное уравнение

$$\omega_2(\omega_1^2 - \chi_{-1}) \sin \omega_1 \cos \omega_2 = \omega_1(\omega_2^2 - \chi_{-1}) \sin \omega_2 \cos \omega_1. \quad (2.31)$$

Решая (2.31) и проверяя условие некратности корней (2.28), получаем счетное множество искоемых коэффициентов χ_{-1} в представлении (2.23).

В частном случае $Pr = 1$ уравнение (2.31) имеет явные решения $\chi_{-1,m} = \pi^2 \left(\frac{1}{2} + m \right)^2, m = 0, 1, \dots$, что дает для счетного множества СЗ следующую асимптотику:

$$c_m = -i \frac{\pi^2}{kR} \left(\frac{1}{2} + m \right)^2 + O(1), \quad k \rightarrow 0, \quad m = 0, 1, 2, \dots \quad (2.32)$$

2.2.2. Решения вида $\sin(\omega z)$. Представляя решение $\varphi_0(z)$ уравнения (2.24) в виде

$$\varphi_0(z) = B_1 \sin(\omega_1 z) + B_2 \sin(\omega_2 z) \quad (2.33)$$

и удовлетворяя граничным условиям (2.25), получаем для χ_{-1} трансцендентное уравнение:

$$\omega_2(\omega_1^2 - \chi_{-1}) \sin \omega_2 \cos \omega_1 = \omega_1(\omega_2^2 - \chi_{-1}) \sin \omega_1 \cos \omega_2. \quad (2.34)$$

Решая (2.34) и проверяя условие некратности корней (2.28), получаем счетное множество иско-
мых коэффициентов χ_{-1} в представлении (2.23).

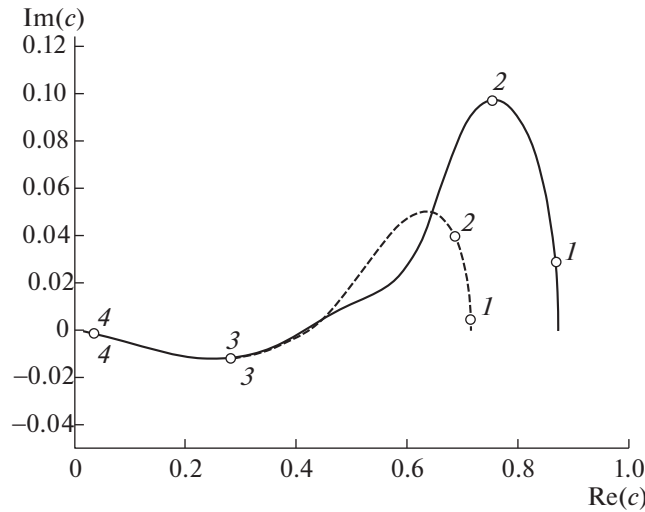
В частном случае $Pr = 1$ уравнение (2.34) имеет явные решения $\chi_{-1,m} = \pi^2 m^2$, $m = 1, 2, \dots$, что
дает для счетного множества СЗ следующую асимптотику:

$$c_m = -i \frac{\pi^2}{kR} m^2 + O(1), \quad k \rightarrow 0, \quad m = 1, 2, \dots \tag{2.35}$$

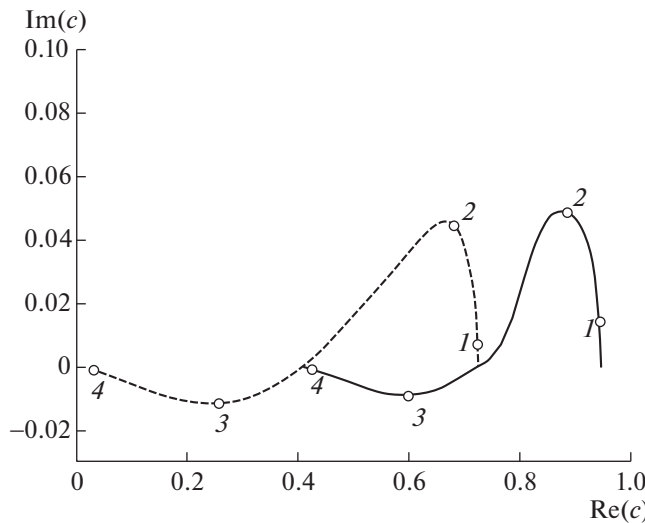
Завершая рассмотрение неограниченно растущих СЗ при $k \rightarrow 0$, отметим, что полученные
асимптотики (2.32) и (2.35) имеют большие отрицательные мнимые части СЗ и соответствуют
устойчивости соответствующих длинноволновых возмущений, т.е. при малых k .

3. ЧИСЛЕННЫЕ РЕЗУЛЬТАТЫ

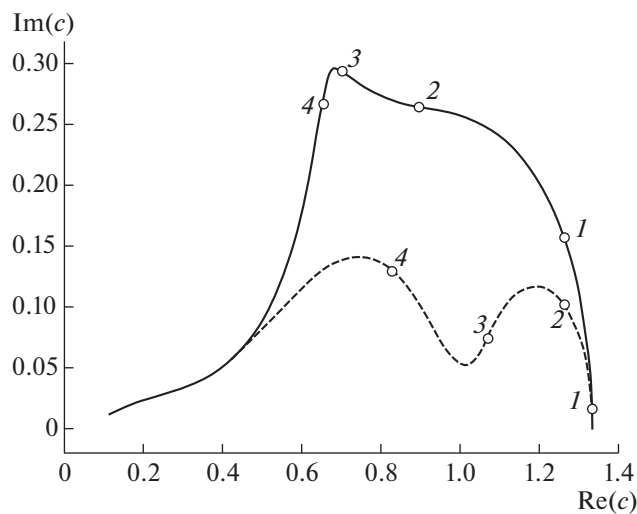
На основе полученных асимптотических разложений при $k \rightarrow 0$ для ограниченных и неограни-
ченно растущих СЗ был разработан и протестирован алгоритм расчета с высокой точностью СЗ c_m для
заданного номера m . Расчет траектории $c_m(k)$ при изменении k начинался при малых числах k , за-
тем при непрерывном возрастании волнового числа k использовался метод продолжения по k .



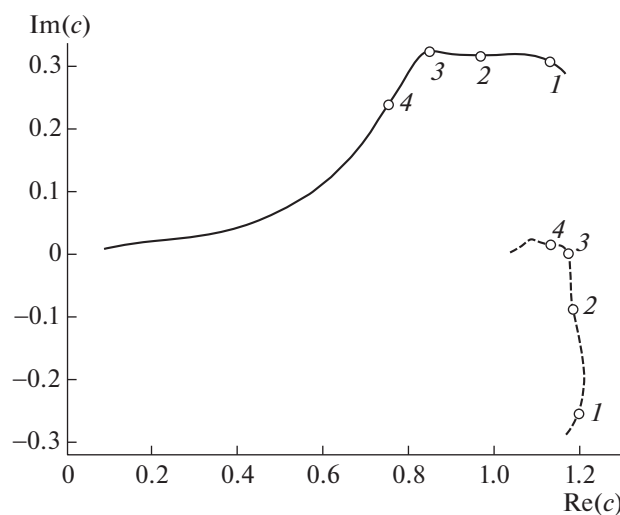
Фиг. 1. Траектории двух СЗ для параметров $Pr = 1$, $R = 10$, $Bu = 1$, $\alpha = 1$.



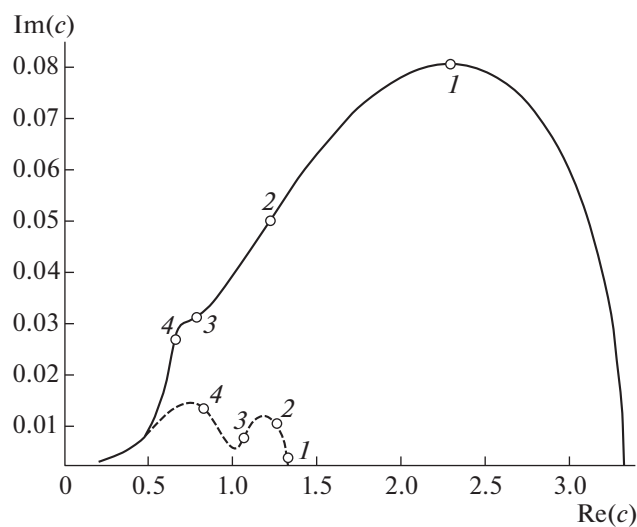
Фиг. 2. Траектории двух СЗ для параметров $Pr = 1$, $R = 10$, $Bu = 1$, $\alpha = 0.8$.



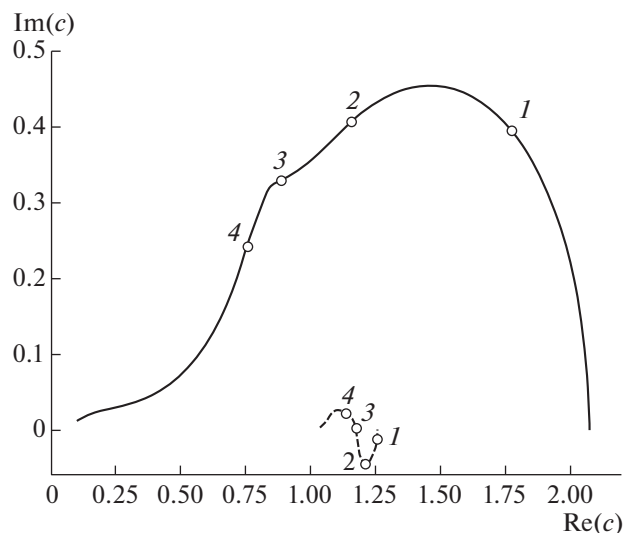
Фиг. 3. Траектории двух СЗ для параметров $Pr = 1$, $R = 10$, $Bu = 0.0001$, $\alpha = 1.0$.



Фиг. 4. Траектории двух СЗ для параметров $Pr = 1$, $R = 10$, $Bu = 0.0001$, $\alpha = 0.5$.



Фиг. 5. Траектории двух СЗ для параметров $Pr = 4$, $R = 10$, $Bu = 0.0001$, $\alpha = 1.0$.



Фиг. 6. Траектории двух СЗ для параметров $Pr = 4$, $R = 10$, $Bu = 0.0001$, $\alpha = 0.5$.

Некоторые результаты такого численного анализа приведены ниже. На фиг. 1–8 даны траектории первых двух СЗ $c_1(k)$ и $c_2(k)$ для различных физических параметров при непрерывном увеличении волнового числа $k \in (0, 1000]$. Сплошные линии соответствуют траекториям $c_1(k)$, а штриховые – траекториям $c_2(k)$. Отмеченные кружочками точки с цифрами 1 соответствуют значению $k = 0.1$, цифрами 2 – значению $k = 1$, цифрами 3 – значению $k = 10$, цифрами 4 – значению $k = 100$.

ЗАКЛЮЧЕНИЕ

Разработан аналитико-численный метод для решения задачи, позволяющей описывать малые устойчивые и неустойчивые возмущения геострофического течения с вертикальным параболическим профилем скорости общего вида. Модель основана на уравнении потенциального вихря в квазигеострофическом приближении с учетом вертикальной диффузии массы и импульса. Построен алгоритм высокоточного расчета СФ и СЗ спектральной задачи с помощью степенных разложений решения в двух граничных точках и последующей сшивки. Предложенный метод позволяет решать задачу для любых масштабов возмущений вдоль и поперек течения и любых соотношений между линейным и постоянным вертикальными сдвигами скорости течения применительно к океану.

Получены асимптотики СФ и СЗ при малых значениях волнового числа k в зависимости от параметров задачи. Показано, что при $k \rightarrow +0$ существуют два ограниченных СЗ и счетное множество неограниченно растущих СЗ с отрицательной мнимой частью и с предельной точкой $-i\infty$.

Представлены расчеты траекторий СЗ, позволяющие судить о неустойчивости, как широких, так и узких течений при типичных для океана значениях параметров задачи.

СПИСОК ЛИТЕРАТУРЫ

1. Кузьмина Н.П. Об одной гипотезе образования крупномасштабных интрузий в Арктическом бассейне // *Фундамент. и прикл. гидрофизика*. 2016. Т. 9. № 2. С. 15–26.
2. Kuzmina N.P. Generation of large-scale intrusions at baroclinic fronts: An analytical consideration with a reference to the Arctic ocean // *Ocean Sci.* 2016. V. 12. P. 1269–1277. <https://doi.org/10.5194/os-12-1269-2016>
3. Кузьмина Н.П., Скороходов С.Л., Журбас Н.В., Лыжков Д.А. О неустойчивости геострофического течения с линейным вертикальным сдвигом скорости на масштабах интрузионного расслоения // *Изв. РАН. Физика атмосферы и океана*. 2018. Т. 54. № 1. С. 54–63.

4. Кузьмина Н.П., Скороходов С.Л., Журбас Н.В., Лыжков Д.А. Описание возмущений океанских геострофических течений с линейным вертикальным сдвигом скорости с учетом трения и диффузии плавучести // Изв. РАН. Физика атмосферы и океана. 2019. Т. 55. № 2. С. 73–85.
5. Скороходов С.Л., Кузьмина Н.П. Аналитико-численный метод решения задачи типа Орра–Зоммерфельда для анализа неустойчивости течений в океане // Ж. вычисл. матем. и матем. физ. 2018. Т. 58. № 6. С. 1022–1039.
6. Скороходов С.Л., Кузьмина Н.П. Спектральный анализ модельных течений типа Куэтта применительно к океану // Ж. вычисл. матем. и матем. физ. 2019. Т. 59. № 5. С. 867–888.
7. Кузьмина Н.П., Скороходов С.Л., Журбас Н.В., Лыжков Д.А. О влиянии трения и диффузии плавучести на динамику геострофических океанских течений с линейным вертикальным профилем скорости // Изв. РАН. Физика атмосферы и океана. 2020. Т. 56. № 6. С. 676–688.
8. Скороходов С.Л., Кузьмина Н.П. Эффективный метод решения модифицированной задачи Орра–Зоммерфельда для анализа неустойчивости течений в Арктическом бассейне // Таврический вестн. информат. и матем. 2016. № 3 (32). С. 88–97.
9. Скороходов С.Л., Кузьмина Н.П. Спектральный анализ малых возмущений геострофических течений с параболическим вертикальным профилем скорости применительно к океану // Ж. вычисл. матем. и матем. физ. 2021. Т. 61. № 12. С. 2010–2023.
10. Гельфонд А.О. Исчисление конечных разностей. М.: Наука, 1967.
11. Найфэ А. Методы возмущений. М.: Наука, 1976. 474 с.